

ژئوشیمی سازند آسماری در مقاطع سطح الارضی تنگ سپو و تنگ بن در ناحیه استان کهگیلویه و بویر احمد

زهرا کریمی مصدق^{۱*}، محمد حسین آدابی^۱ و عباس صادقی^۱

گروه زمین‌شناسی، دانشکده علوم زمین، دانشگاه شهید بهشتی، تهران، ایران

تاریخ پذیرش: ۱۳۸۷/۱۱/۱۴ تاریخ دریافت: ۱۳۸۶/۰۹/۱۹

چکیده

مطالعات ژئوشیمی سازند آسماری در دو برش چینه‌شناسی از سازند آسماری واقع در تنگ سپو در حوالی شهر دهدشت (استان کهگیلویه و بویر احمد) و تنگ بن نزدیک به شهر بهبهان (استان خوزستان) به ترتیب با سترهای ۲۶۰ و ۲۱۴ متر، به همراه بخش‌هایی از رأس سازند پابده بررسی شد. در منطقه مورد مطالعه، نهشته‌های کربناتی سازند آسماری با سن الیگوسن بالایی (Early Miocene) و میوسن زیرین (Late Oligocene)، بین سازند پابده در زیر و سازند گچساران در بالا نهشته شده است. بر اساس مطالعات ایزوتوپی اکسیزن و کربن و تجزیه عنصری (عناصر فرعی و اصلی)، سازند آسماری بیشتر، تحت تأثیر دیاژنز جوی (meteoric) قرار گرفته است و روند J وارون (inverted trend) حاکی از تأثیر این نوع دیاژنز است. همچنین سامانه دیاژنیکی از نوع بسته تانیمه بسته، برآورده شده است. مطالعات ژئوشیمی‌ای حاکی از این است که ترکیب کانی‌شناسی اولیه سازند آسماری آراغونیتی است. بر اساس این تغییرات، مرز بین سازند پابده و سازند آسماری بر اساس مطالعات ایزوتوپ اکسیزن و کربن قابل تشخیص است. مقادیر ایزوتوپ اکسیزن و کربن برای سازند پابده، بیشتر منفی و برای سازند آسماری مثبت تا منفی است. افزون بر این، مقادیر عنصر Sr در سازند پابده بیشتر از سازند آسماری است. تغییرات ایزوتوپی و عنصری بین شاتین (Chattian) و آکویتانین و بین آکویتانین (Aquitanian) و بوردیگالین (Burdigalian) به نسبت روشن و مشخص است.

کلیدواژه‌ها: سازند آسماری، ژئوشیمی، الیگوسن، میوسن

*نویسنده مسئول: زهرا کریمی مصدق

Email: zkmosadegh@yahoo.com

۱- مقدمه

سپو از سازند آسماری و رأس سازند پابده و قاعده سازند گچساران برای بررسی‌های چینه‌ای مورد مطالعه قرار گرفته است. از پودر ۲۵ نمونه آهک، برای تجزیه ایزوتوپ اکسیزن و کربن و تجزیه عنصری استفاده شده است. محل نمونه‌برداری بیشتر از رأس سازند پابده و قاعده سازند آسماری و در نزدیکی مرز آکویتانین و بوردیگالین است. مقاطع نازک با آلیزارین سرخ رنگ برای جداسازی آهک از دولومیت رنگ آمیزی شده است (Dickison, 1965). برای تهیه ستون‌های چینه‌شناسی از نرم افزار Stratabugs²، و برای آزمایش عناصر اصلی و فرعی از دستگاه طیف سنج جذب اتمی (Atomic Absorption Spectrometry) در دانشکده علوم زمین دانشگاه شهید بهشتی و برای آزمایش ایزوتوپ اکسیزن و کربن از دستگاه طیف سنج جرمی (Finnigan MAT 252 Mass Spectrometer) در CSIRO شهر سیدنی استرالیا استفاده شده است.

۲- سنگ‌چینه‌نگاری سازند آسماری در نواحی مورد مطالعه

۲.۱. مقاطع تنگ بن

سنگ‌چینه‌نگاری: این مقطع در نزدیکی شهر بهبهان از استان خوزستان واقع شده است و سترایی معادل ۲۱۴ متر دارد که ۷ متر پایینی از سازند پابده و ۱۷ متر بالایی ترین بخش سازند آسماری از نمونه‌های سازند گچساران برداشت شده است (شکل ۲). در قاعده سازند (مربوط به سازند پابده) بخش نازکی از آهک‌های به رنگ خاکستری روش همراه با دایتروپا (سرپولیده) و بخش‌های مارنی با رخساره پلاژیک دیده می‌شود. به سمت بالای مقطع، آهک‌های سترایله تا نازک‌کلاه به صورت تناوبی با مارن همراه با فسیلهای دوکه‌ای، آشفتگی زیستی و بخش‌های نازک دولومیتی دیده می‌شود. گرهک‌های اندیزیت به طور پراکنده و ناجیز در بخش‌های پایانی دیده می‌شود، اما به سمت بخش رأسی افزایش می‌یابد که در پایان، توسط اندیزیت گچساران پوشیده می‌شود. همچنین به سمت رأس مقطع، بر سترایلیه‌ای دیده می‌شود. این مطالعات ۱۳۴ مقطع نازک از مقاطع تنگ بن و ۷۹ مقطع نازک از مقاطع تنگ

منطقه مورد مطالعه شامل دو مقطع سطح الارضی تنگ سپو نزدیک به شهر دهدشت (استان کهگیلویه و بویر احمد) و تنگ بن نزدیک به شهر بهبهان (استان خوزستان) است (شکل‌های ۱-الف و ب). تنگ سپو بین "۴۱'۵۲" عرض شمالی و "۳۹'۳۸" طول خاوری و تنگ بن بین "۲۴'۵۰" عرض شمالی و "۳۰'۵۰" طول خاوری واقع است.

سازند آسماری جزو یکی از مخازن بزرگ هیدرولیکی در جنوب باختیر ایران به شمار می‌آید. سازند آسماری در یک سکوی کربناته کم‌ژرف در حوضه زاگرس با سن الیگوسن-میوسن رسوبگذاری کرده است و یکی از مخازن اصلی نفت ایران به شمار می‌رود (Alavi, 2004).

از نظر ویژگی‌های سنگ‌شناسی، قاعده سازند آسماری شامل تناوبی از آهک و مارن است که در بخش میانی، کمی دولومیتی شده است. این تناوب آهک و دولومیت و مارن، به سمت رأس ادامه دارد اما بر سترایلیه‌ای دولومیتی اضافه و لایه‌های نازکی از اندیزیت نیز دیده می‌شود که در بخش رأسی سازند با اندیزیت گچساران پوشیده می‌شود (Thomas, 1950; Bahroudi & Koyi, 2004).

بخش‌های انتهایی سازند پابده و سازند آسماری در برش‌های سطح الارضی مورد مطالعه در عرض جغرافیایی حدود ۲۵ درجه شمالی قرار دارند (Meulenkamp et al., 1993). براساس نتایجی که از راه مطالعه ژئوشیمی، دیاژنز، ریزرساره و محیط رسوبی به دست آمده است، سازند آسماری جزو کربناتهای مناطق حاره‌ای (Tropical) و یا نیمه حاره‌ای (Subtropical) به شمار می‌آید. در این مطالعات، برای شناخت منشأ و محیط تشکیل نهشته‌های کربناتهای مقاطع مورد نظر، دمای آب دریا، شوری و ترکیب کانی‌شناسی اولیه این سنگ‌های کربناته مورد بررسی قرار گرفته‌اند.

۳- روش مطالعه

در این مطالعات ۱۳۴ مقطع نازک از مقاطع تنگ بن و ۷۹ مقطع نازک از مقاطع

همان‌گونه که دیده می‌شود، این دو عنصر با یکدیگر رابطه خطی مثبت دارند که می‌تواند به دلیل تأثیر دیاژنر جوی بر روی این آهک‌ها باشد.

نسبت Sr/Na: کربنات‌های حاره‌ای دیرینه و عهد حاضر را می‌توان از معادلهای غیرحراره‌ای آنها توسط نسبت Sr/Na و میزان Mn جدا کرد (Adabi & Rao, 1991; Rao, 1991).

در تنگ آهک‌های آراغونیتی حاره‌ای عهد حاضر مقدار Mn پایین و نسبت Sr/Na بالا (حدود ۳ تا ۵) است. در حالی که نسبت Sr/Na در آهک‌های کلسیتی عهد حاضر و آهک‌های کلسیتی دیرینه کمتر از یک است (آدابی، ۱۳۸۳). میزان Sr/Na در سازند آسماری و رأس سازند پایده بین ۱ تا ۷/۵ (میانگین ۴/۱) متغیر است. همان‌گونه که در شکل ۷ دیده می‌شود، نمونه‌های سازند آسماری و رأس سازند پایده (نمونه‌های قاعده‌ای مقاطع) بیشتر در محدوده آراغونیت‌های آب‌های گرم اردووسین گوردون و آهک‌های مزدوران قرار دارند.

نسبت Sr/Ca: براساس نسبت Ca/Sr در برابر Mn می‌توان روند دیاژنر در سامانه‌های باز و بسته را تعیین کرد. در نمودار شکل ۸، محدوده‌هایی برای روند داهای دیاژنریکی آراغونیت (A)، کلسیت پرمیزیم (HMC) و کلسیت کم مینیزیم (LMC) توسط Brand & Veizer (1980) مشخص شده است. در سامانه دیاژنری باز با افزایش تbadلات آب به سنگ (Water-rock interaction) (Mizan/Ca) کاهش می‌یابد. در سامانه‌های نیمه بسته که فعل و انفعالات آب با سنگ کم است، نسبت Sr/Ca فازهای دیاژنری تغیرات محسوسی نسبت به ترکیبات اولیه ندارد. عموماً کاهش منگنز در کلسیت دیاژنریکی نشانگر بسته بودن سامانه است. مقادیر Mn در نمونه‌های سازند آسماری و رأس سازند پایده بین ۲۵ تا ۱۱۹ ppm متغیر است که یک سامانه دیاژنری بسته تا نیمه بسته را نشان می‌دهند.

۲-۴. ایزوتوپ‌های اکسیژن و کربن

در کربنات‌های مناطق حاره‌ای میانگین دمای آب دریاهای آزاد حدود ۲۵ درجه سانتی گراد و شوری آب بیشتر بین ۳۵% تا بیش از ۶۵% در تغییر است (آدابی، ۱۳۸۳). در جدول ۱، محدوده تغییرات ایزوتوپ اکسیژن کربنات‌های دریایی برای زمان‌الگومن-میوسن (ترشیری) نمایش داده شده است (Allan & Wiggin, 1993).

همچنین در شکل ۹، تغییرات ایزوتوپ اکسیژن در برابر ایزوتوپ کربن در زمان

ترشیری رسم شده است (Allan & Wiggins, 1993).

همان‌گونه که در جدول ۱ دیده می‌شود، دامنه تغییرات ایزوتوپ اکسیژن ($\delta^{18}\text{O}$) در زمان‌الگومن در مناطق حاره‌ای و نیمه حاره‌ای در مرود روزنبران پلاتکتونیک سطحی بین ۰/۱ تا ۱/۸‰ و برای زمان میوسن بین ۰/۳ تا ۰/۱‰ PDB است. در نمونه‌های مناطق مختلف تغییرات $\delta^{18}\text{O}$ بین ۰/۵ تا ۰/۳‰ است. در

شکل ۹ $\delta^{18}\text{O}$ برای ترشیری بین ۰/۱ تا ۰/۳‰ PDB است.

در این پژوهش، ۳۱ نمونه از بین نمونه‌های آهکی انتخاب شده‌اند. افزون بر میکریت، نمونه‌ها از بین روزنبران کفسیزی بزرگ پوسته هیالین مانند (Lepidocyclina, Favervina)، روزنبران پلاتکتونیک، دوکفه‌ای، پلت‌های مدفعی اثوبید، روزنبران کفسیزی پوسته تیره (Miliolid) نیز انتخاب شده‌اند. دامنه تغییرات ایزوتوپ اکسیژن در سازند آسماری در مقاطع سطح الارضی مورد مطالعه بین ۰/۷ تا ۰/۱۶۴‰ (میانگین ۰/۱۶۷‰ PDB) و ایزوتوپ کربن بین ۰/۳ تا ۰/۷‰ (میانگین ۰/۴۹‰ PDB) است.

$\delta^{18}\text{O}$ کربنات‌های دریایی در زمان‌های زمین‌شناسی مختلف متفاوت است و بستگی به دمای آب و تغییرات درجه شوری دارد. تغییرات $\delta^{18}\text{O}$ آب دریا به‌وسیله فرایند یخ‌band و تأثیرات سوخت و ساز در موجودات زنده ایجاد می‌شود. انتخاب یک ارزش واحد برای $\delta^{18}\text{O}$ در هر زمان، غیر واقعی است. میزان $\delta^{18}\text{O}$ نمونه‌هایی

دولومیتی نیز افزوده می‌شود.

۳-۲. مقطع تنگ سپو

سنگ‌چینه‌نگاری: این مقطع در نزدیکی شهر دهدشت از استان کهگیلویه و بویراحمد واقع است و سمترا بی‌حدود ۲۶۰ متر دارد. از حدود ۱۹ متر پایینی سازند پایده و ۴ متر بالایی سازند گچساران نمونه‌برداری شده است (شکل ۲). در قاعده سازند، بخش‌های مارنی به رنگ خاکستری تا سبز روشن همراه با لایه‌های نازکی از آهک دیده می‌شود. سپس آهک‌های سترلایه همراه با مارن و گرهک‌های پراکنده ایندیریت و در بخش‌های آهکی آثاری از دوکفه‌ای دیده می‌شود؛ به سمت رأس مقطع، به حجم گرهک‌های ایندیریت اضافه شده است. افزون بر این، در تمام طول ستون چینه‌ای این سازند سترهای متفاوتی از دولومیت دیده می‌شود. رأس مقطع با ایندیریت‌های گچساران پوشیده شده است.

۴- ژئوشیمی

افزون بر مطالعات زیست‌چینه‌نگاری و محیط رسویی، برای در ک بهتر دیاژنر، دمای دیرینه و محیط تشکیل نهشته‌های کربناتی مناطق مختلف، ویژگی‌های ژئوشیمی عنصری و ایزوتوپی نمونه‌های کربناتی به شرح زیر مطالعه شد.

۴-۱. عناصر فرعی

استرانسیم Sr: در مناطق حاره‌ای مقدار Sr بین ۸۱۳ تا ۹۰۰ ppm در تغییر است (Rao, 1996). ارزیابی نتایج حاصل از مطالعات کربنات‌های بخش رأسی سازند پایده و سازند آسماری بیانگر آن است که مقدادر Sr در مقطع سطح الارضی تنگ سپو ۳۱۲ ppm تا ۲۹۱۷ ppm و در مقطع سطح الارضی تنگ بن بین ۸۵ تا ۸۰ ppm متغیر است. در هر دو مقطع میزان Sr در رأس سازند پایده بیشتر از سازند آسماری است.

در شکل ۳ محدوده‌های آراغونیتی و کلسیتی آب‌های دریایی عهد حاضر و دیرینه برای مقایسه ارائه شده است. کانی‌شناسی گرم گوردون تسامنیا و مزدوران با ترکیب کانی‌شناسی اولیه آراغونیتی (Rao, 1991; Adabi & Rao, 1991) قرار می‌گیرد.

سدیم Na: مقدار Na در نمونه‌های کل نهشته‌های کربناتی مناطق حاره‌ای عهد حاضر بین ۴۴۴ تا ۴۴۴ ppm (میانگین حدود ۳۵۰۰۰ ppm) متغیر است (Rao, 1996). مقدار سدیم در نمونه‌های آهکی تنگ بن بین ۸۲ تا ۱۷۶ ppm و در نمونه‌های آهکی تنگ سپو بین ۱۱۲ تا ۳۱۹ ppm است. با توجه به مشاهدات بالا، می‌توان چنین نتیجه گرفت که فرایندهای دیاژنریکی غیردریایی بر روی نمونه‌های سطح الارضی سازند آسماری و رأس سازند پایده بویژه در تنگ بن تأثیر گذاشته است و میزان سدیم نمونه‌ها بسیار کمتر از مقدار Na در نمونه‌های کل نهشته‌های کربناتی مناطق حاره‌ای عهد حاضر است.

منگنز Mn: مقدار Mn در نمونه‌های آراغونیتی کم (کمتر از ۳۰ ppm) و در نمونه‌های کلسیتی به نسبت بالاست (حدود ۳۰۰ ppm) (Rao, 1996). مقادیر Mn با افزایش تأثیر دیاژنر جوی (meteoric) بویژه در سامانه باز افزایش می‌یابد (Brand and Veizer 1980, Rao, 1990).

دامنه تغییرات مقدار منگنز در مقاطع سطح الارضی تنگ بن بین ۳۱ تا ۹۸ ppm در تنگ سپو بین ۲۵ تا ۱۱۹ ppm است. در شکل ۴ تغییرات Mn نسبت به Na و در شکل ۵ تغییرات Mn در برابر Sr نشان داده شده است. همان‌گونه که دیده می‌شود، بیشتر نمونه‌های سطح الارضی سازند آسماری و رأس سازند پایده (نمونه‌های قاعده‌ای مقاطع) در محدوده آهک‌های آراغونیتی آب‌های گرم اردووسین گوردون تسامنیا و مزدوران واقع شده است.

در شکل ۶ تغییرات Fe در برابر Mn در مقاطع سطح الارضی رسم شده است.

(Na, Sr/Ca) و تغییرات ایزوتوپ اکسیژن و کربن در مرز و طول توالی سازند آسماری می‌توان اطلاعات مفیدی را به دست آورد.

۶-۱. تغییرات عناصر فرعی (Na, Sr, Sr/Na, Sr/Ca)

(Facies discrimination) نسبت Sr/Na به خوبی می‌تواند برای جداسازی رخساره‌ها (Winefield et al., 1996) استفاده قرار گیرد. همان‌گونه که در شکل‌های ۱۵ و ۱۶ دیده می‌شود، مقدار Sr و Na و نیز تغییرات Sr/Ca در سازند پابده بیشتر از سازند آسماری است که این می‌تواند دلیلی بر اختلاف ترکیب شیمیایی آب دریا در زمان تشکیل این دو سازند و یا احتمالاً تأثیر فرایندهای دیاژن باشد. تغییرات آشکاری در حدود مرز تقریبی بخش‌های پایینی، میانی و بالایی سازند آسماری با سنین Aquitanian و Chattian، Burdigalian و Châtillian، Aquitanian آسماری می‌شود. در این مطالعات نکته جالب توجه این است که با توجه به تغییرات عناصر فرعی در طول توالی سازند آسماری می‌توان بخش‌های متفاوتی را جدا کرد. عامل این تفکیک به احتمال، اختلاف رخساره‌ای، اختلاف در تغییر سطح آب دریا و یا به عبارتی انواع مختلف پاراسکانس‌ها است. بنابراین، پیشنهاد می‌شود در مطالعات چنین نگاری سکانسی از اطلاعات ژئوشیمی نیز استفاده شود.

۶-۲. ایزوتوپ‌های اکسیژن و کربن

همان‌گونه که در شکل‌های ۱۷ و ۱۸ دیده می‌شود، ایزوتوپ‌های اکسیژن نمونه‌های آهکی در سازند پابده و آسماری در مقطع تنگ سپو سنگین‌تر از ایزوتوپ‌های اکسیژن نمونه‌های سازند آسماری هستند، اما ایزوتوپ‌های کربن در نمونه‌های آهکی سازند پابده، منفی (به استثنای یک نمونه) است. به احتمال، سبک‌تر بودن $\delta^{13}\text{C}$ در سازند آسماری می‌تواند به دلیل فراوانی بیشتر مواد آلی و اکسایش آنها و تبدیل به CO_2 باشد. در تنگ سپو در سازند آسماری مثبت‌تر است در حالی که $\delta^{13}\text{C}$ در تنگ بن منفی‌تر است. بنابراین تغییرات $\delta^{18}\text{O}$ و $\delta^{13}\text{C}$ در سازند پابده و آسماری می‌تواند به دلیل تغییرات دما، شوری و اکسایش مواد آلی در زمان Burdigalian و Chattian، Aquitanian آسماری می‌باشد. در جدول ۲ و ۳ تغییرات عنصری و ایزوتوپی در مقاطع تنگ بن و تنگ سپو ارائه شده است.

۷- نتیجه‌گیری

- بیشترین نوع دیاژن تأثیرگذار بر نمونه‌های سازند آسماری از نوع دیاژن جوی است.
- مطالعات ایزوتوپی و عنصری و رسم داده‌ها در برابر ستون چینه‌شناسی مقاطع مورد مطالعه در بیشتر موارد، نشان‌دهنده ترکیب کانی‌شناسی اولیه آرگونیتی در سنگ‌های کربناتی سازند آسماری است. آرگونیت به طور معمول در دمای بالاتر از ۲۵ درجه و شوری بیشتر از حد عادی (۳۵%) تشکیل می‌شود.

- از رسم Mn در مقابل Sr/Ca و همچنین Mn در برابر $\delta^{18}\text{O}$ نوع سامانه دیاژنیکی سازند آسماری از نوع بسته تا نیمه بسته برآورد شده است.

- با توجه به مطالعات عنصری و ایزوتوپی، تغییرات به نسبت آشکاری در مرز بین سازند‌های پابده و آسماری و درون سازند آسماری بین بخش Aquitanian و Chattian و تغییرات به نسبت کمتری بین Aquitanian و Burdigalian دیده می‌شود. بنابراین مطالعات ژئوشیمی برای تفکیک مرز بین سازند‌ها و حتی رخساره‌های درون سازندی اهمیت دارد.

- نمونه‌های سازند پابده بیشتر دارای ایزوتوپ اکسیژن و کربن منفی هستند. افزون بر این، مقدار Sr و نیز تغییرات Sr/Na و Sr/Ca در سازند پابده بیشتر از سازند آسماری است.

- مطالعات ژئوشیمی برای اولین بار در این منطقه (تنگ بن و تنگ سپو) صورت گرفته است. مطالعات اخیر در مقاطع سطح اراضی، به تشخیص دقیق مرز بین سازند

که کمترین دگرسانی را دارند، به صورت محدوده نشان داده می‌شود نه یک نقطه؛ خطوط منقطع قائم نشان‌دهنده محدوده منطقی تغییرات اکسیژن قابل انتظار برای کربنات‌های اولیه دریایی در یک زمان زمین‌شناسی ویژه است که تحت تأثیر دگرسانی قرار نگرفته‌اند.

۶-۳. تغییرات عناصر فرعی در برابر ایزوتوپ اکسیژن

تغییرات ایزوتوپ‌های اکسیژن و کربن در برابر عناصر فرعی مانند Na, Sr, Mn, تشخیص ترکیب کانی‌شناسی اولیه کربنات‌هار امکن می‌سازند. همان‌گونه که در شکل‌های ۱۰، ۱۱، ۱۲ دیده می‌شود، بیشتر داده‌ها حاکی از ترکیب کانی‌شناسی اولیه آرگونیتی است.

۶-۴. تعیین روند دیاژن در سازند آسماری و بخش رأسی سازند پابده

برای شناسایی محیط‌های دیاژنیکی نهشته‌های کربناتی، می‌توان از نمودارهای عنصر در برابر عنصر و نیز $\delta^{18}\text{O}$ و $\delta^{13}\text{C}$ استفاده کرد. برای نمونه، ارتباط منفی آشکار بین مقادیر Sr و Mn از یوزگی‌های شاخص دیاژن جوی است که در طی تبدیل CaCO_3 نیمه پایدار به کالسیت کم می‌شود (LMC) (Paediar حاصل می‌شود (Brand & Veizer, 1980; Veizer, 1983; Rao, 1990) در اثر افزایش دگرسانی دیاژنیکی در نمونه‌های کربناتی مقادیر Mn و Fe افزایش می‌یابد (Veizer, 1986 & Winefiled et al., 1996; Al-Aasm)

در دیاژن‌های جوی، تغییرات به نسبت زیادی در مقادیر $\delta^{13}\text{C}$ و تغییرات کمتری در مقادیر $\delta^{18}\text{O}$ نمونه‌های کربناتی دیده می‌شود (Lohmann, 1988). علت تخلیه یا کاهش شدیدی که در مقادیر $\delta^{13}\text{C}$ نمونه‌ها به چشم می‌خورد به دلیل فراوانی مواد آلی در خاک‌های سطحی بوده که حاوی مقادیر قابل توجهی CO_2 هستند. تأثیر دیاژن جوی در سنگ‌های کربناتی را می‌توان از روی شکل روند تغییرات ایزوتوپ اکسیژن و کربن که به روند J برگشته (Inverted-J trend) (Lohmann, 1988) موسوم است، در شناسایی کرد. روند تغییرات دیاژن در هر دو مقطع سطح اراضی همان‌گونه که در شکل ۱۳ دیده می‌شود، به شکل J برگشته است، یعنی تغییرات ایزوتوپ کربن بیشتر از جالب توجه اینکه نمونه‌های آهکی تنگ بن کمتر در معرض دیاژن جوی قرار گرفته و احتمالاً بادل آب به سنگ (Water/Rock interaction) (در این نمونه‌ها کمتر بوده است)، اما نمونه‌های آهکی مقطع تنگ سپ بیشتر تحت تأثیر فرایندهای جوی قرار داشته‌اند. در شکل ۱۴، تغییرات Mn در مقابل $\delta^{18}\text{O}$ حاکی از این است که سامانه دیاژنیکی در مقاطع سطح اراضی مورد مطالعه به دلیل تبادل کم آب با سنگ بیشتر از نوع بسته بوده است.

۶-۵. تفکیک مرز بین دو سازند پابده و آسماری

مرز بین سازند پابده و آسماری از راه مطالعه فسیل شناسی به راحتی قابل شناسایی نیست و این موضوع به دلیل این است که در مقاطع مورد مطالعه بخش بالای سازند پابده و همچنین قاعده سازند آسماری سن گزارش شده است. البته سازند پابده بیشتر دارای رخساره شیلی و حاوی فسیل‌های پلانکتونیکی فراوان‌تری نسبت به قاعده سازند آسماری است.

بخش‌های مختلف آسماری زیرین (Lower Asmari) و آسماری میانی (Middle Asmari) و آسماری بالایی (Upper Asmari) را تا حدود زیادی می‌توان از روی تغییرات رخساره‌ای و فسیلی از یکدیگر تشخیص داد. اما تفکیک بین بخش بالایی پابده با قاعده آسماری به سادگی امکان‌پذیر نیست. مطالعات ژئوشیمی، تغییرات آشکاری در مرز این دو سازند و بخش‌های مختلف درون سازند آسماری را نشان می‌دهد. بنابراین در این مطالعات با توجه به تغییرات عناصر فرعی (Sr, Sr/Na,)

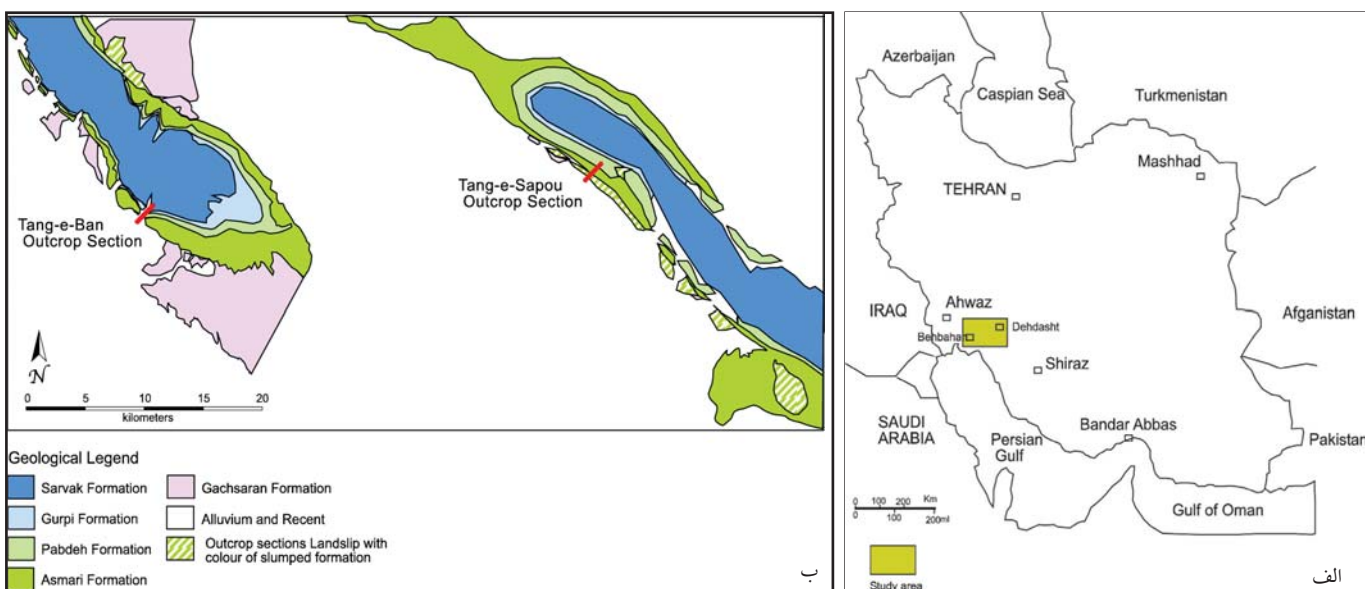
که در زمینه عملیات صحرایی همکاری‌های فراوانی با ما داشتند، همچنین از پژوهشگاه صنعت نفت بویژه آقای دکتر معلمی برای در دسترس قرار دادن امکانات میکروسکوپی و هماهنگی‌های لازم برای عملیات صحرایی نهایت تشکر و قدردانی را به عمل آوریم. از آقای دکتر David Haig از دانشگاه غرب استرالیا به دلیل کمک در ارتباط با مطالعات زیست‌چینه‌نگاری مقاطع سطح الارضی تشکر می‌کنیم.

نگارندگان، از واحد نفت CSIRO شهر Perth بویژه دکتر Cedric Griffiths، واحد نفت CSIRO شهر سیدنی بویژه دکتر Tony Allan، دکتر David Whitford در زمینه فراهم آوردن امکانات لازم برای تجزیه‌های ایزوتوپی و دکتر Justin Parker برای کمک در رسم شکل‌های مربوط به بخش ژئوشیمی نهایت تشکر و قدردانی را دارند.

پابده و آسماری، مرز دقیق بین اشکوب‌های Aquitanian و Chattian، Burdigalian منجر شده است (مرزهای قبلی تصحیح شده است). همچنین تغییرات نامنظم ایزوتوپ اکسیژن و کربن در مقطع تنگ بن تأییدی بر عملکرد گسل هندیجان در منطقه است.

سپاسگزاری

در اینجا لازم می‌دانیم که از شرکت نفت ناحیه جنوب بویژه جناب آقای دکتر امیر بهخیار و جناب آقای دکتر هرمز قلاوند در جهت فراهم کردن امکانات مورد نیاز برای عملیات صحرایی و آقای دکتر هرمز قلاوند و آقای مهندس احمد حسینی



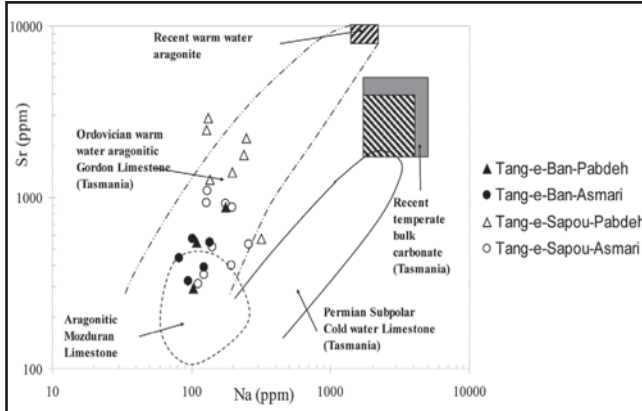
شکل ۱- (الف) موقعیت چگانه‌بازی برش‌های مورد مطالعه (با تغییراتی از کربیمی مصدق و همکاران، ۱۳۸۶). (ب) نقشه زمین‌شناسی مقاطع سطح الارضی مورد مطالعه (اقتباس با تغییراتی از شرکت نفت ایران، واحد زمین‌شناسی و اکتشاف، ورقه شماره ۲۰۸۳۶ ۲۰۸۳۶ خاوری (دهدشت) و ۲۰۸۳۶ باختری (بهبهان)).

جدول ۱- محدوده تغییرات ایزوتوپ اکسیژن و کربن کربنات‌های دریایی در زمان الیگوسن- میوسن (اقتباس از Allan & Wiggins, 1993).

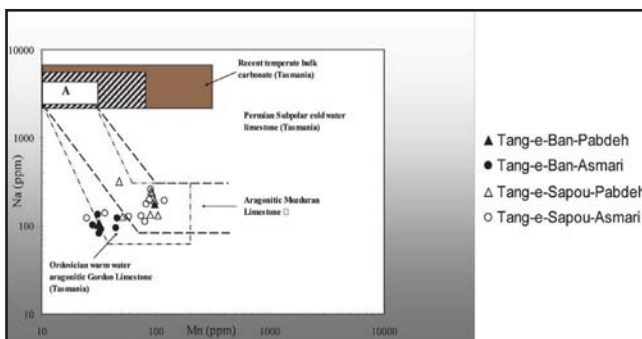
Age	Reference	Description	Location	$\delta^{18}\text{O}_{\text{‰}} \text{PDB}$	$\delta^{13}\text{C}_{\text{‰}} \text{PDB}$
Tertiary (Miocene)	Brand & Morrison (1987b)	Whole molluscs (mostly aragonite)	NA= (not available)	-1.4 to +2.6	-3.7 to +2.4
Tertiary (Miocene)	Buchardt (1978)	Whole molluscs (mostly aragonite)	NW Europe	-1.5 to +3.1	NA= (not available)
Tertiary (Miocene)	Savin et al. (1975)	Open-ocean planktonic foraminifera	Low latitude DSDP sites, N pacific ocean	-1.1 to +1.1	+1.6 to +2.9
Tertiary (Miocene)	Miller et al. (1987)	Tropical & subtropical surface- dwelling planktonic foraminifera	DSDP sites, Atlantic & Indian Oceans	-1.3 to +0.3	NA= (not available)
Tertiary (Oligocene)	Brand & Morrison (1987b)	Whole molluscs (mostly aragonite)	NA= (not available)	-3.1 to +1.5	-5.2 to +3.5
Tertiary (Oligocene)	Buchardt (1978)	Whole molluscs (mostly aragonite)	NW Europe	-1.9 to +3.0	NA= (not available)
Tertiary (Oligocene)	Miller et al. (1987)	Tropical & subtropical surface- dwelling planktonic foraminifera	DSDP sites, Atlantic & Indian Oceans	+0.1 to +1.8	NA= (not available)
Tertiary (Oligocene)	Savin et al. (1975)	Open-ocean planktonic foraminifera	Low latitude DSDP sites, N pacific Ocean	-0.6 to +0.4	+0.7 to +2.0

جدول ۳- تغییرات عناصر اصلی و فرعی و ایزوتوپی اکسیژن و کربن در نمونه‌های آهکی
قطعه سطح الارضی تنگ سپو.

Sample Number	$\delta^{13}\text{CPDB}$	$\delta^{18}\text{OPDB}$	%Mg	%Ca	Sr ppm	Na ppm	Fe ppm	Mn ppm
Ps.1 (Pabdeh)	-1.23	-2.21	1.87	36.49	1773	240	1823	93
Ps.2 (Pabdeh)	-1.63	-2.03	1.02	37.29	1267	136	1244	89
Ps.3 (Pabdeh)	-1.74	-1.99	1.92	34.18	1390	196	1405	98
Ps.4 (Pabdeh)	-0.73	-2.22	0.52	36.71	2917	132	573	104
Ps.5 (Pabdeh)	-0.75	-3.00	0.39	38.23	2458	128	781	51
8 (Pabdeh)	-0.71	-2.27	1.6	36.5	2198	249	1164	91
13 (Pabdeh)	1.43	-2.75	0.53	36.78	571	319	658	48
As.1(Asmari)	-3.34	-3.16	0.49	38.77	1097	131	604	74
As.2 (Asmari)	-1.29	-2.76	0.5	38.45	930	128	459	58
As.5 (Asmari)	-1.19	-3.15	0.57	38.22	922	176	676	83
As.7 (Asmari)	1.58	-1.89	1.04	37.77	875	198	844	88
As.12 (Asmari)	-0.44	-2.67	0.53	37.78	530	260	834	91
Sr.1(Asmari)	0.64	-1.64	0.82	37.68	399	193	1079	119
As.32 (Asmari)	-2.70	-4.63	0.34	38.24	312	112	799	81
Sr.2 (Asmari)	0.42	-7.43	0.3	38.48	352	124	511	25
As.56 (Asmari)	2.49	-3.69	0.58	37.92	511	141	675	36



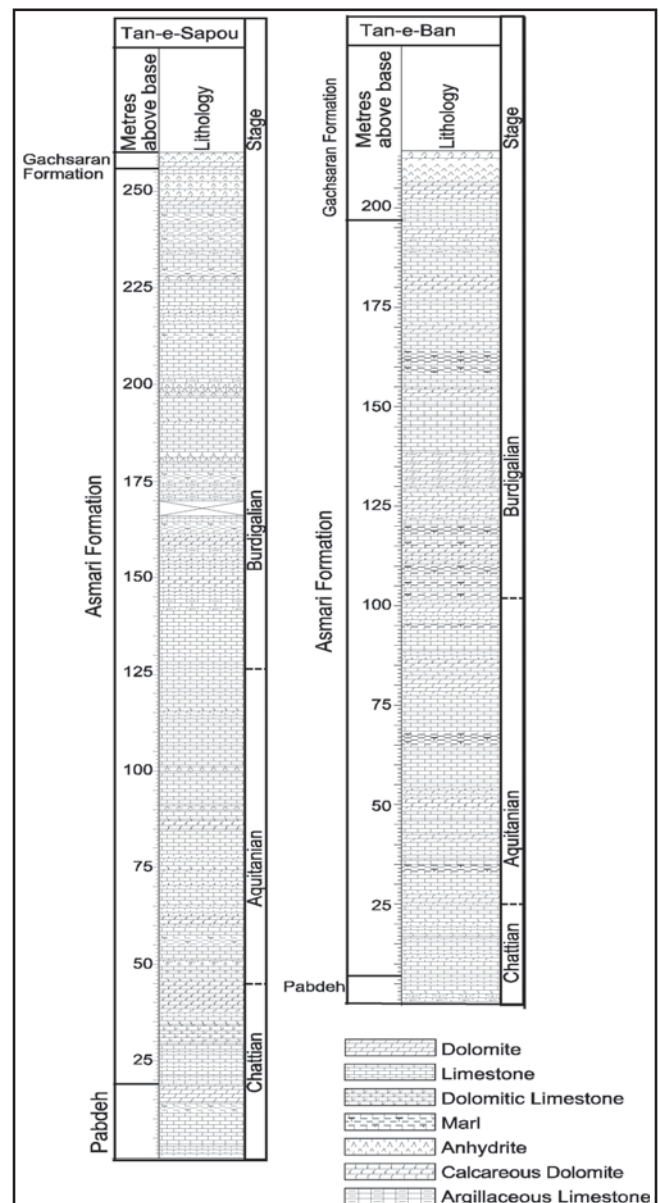
شکل ۳- مقایسه مقادیر Sr و Na محدوده‌های آب‌های گرم و آرگونیتی عهد حاضر با بالاترین
مقدار Sr، Na، محدوده آهک‌های کلسیتی سرد نیمه قطبی پرمن تاسمانیا، در استرالیا و محدوده
آرگونیتی سازند مزدوران ایران. همان‌گونه که دیده می‌شود، بیشتر نمونه‌های آهکی سازند
آسماری و رأس پابده (نمونه‌های قاعده‌ای مقاطعه) در تنگ سپو و تنگ بن در محدوده آرگونیت
آب‌های گرم اردوویسین گوردن تاسمانیا در استرالیا و بخشی در محدوده آرگونیتی مزدوران
به دلیل تشابه کانی شناسی آرگونیتی قرار گرفته‌اند (اقتباس با تغییراتی از Adabi, 1996).



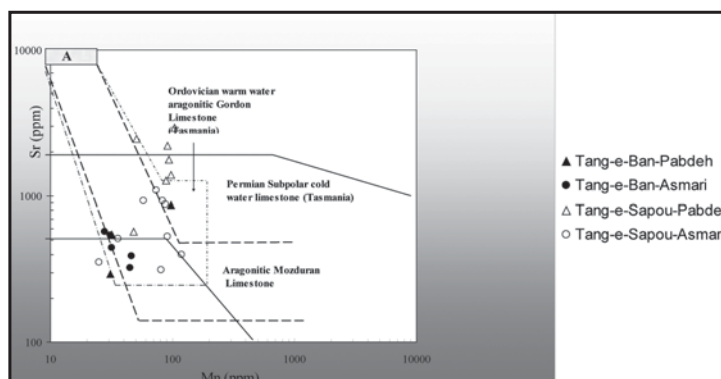
شکل ۴- تغییرات Mn در برابر Na در مقاطع سطح الارضی. همان‌گونه که دیده می‌شود بیشتر
نمونه‌ها در محدوده آهک‌های آرگونیتی آب‌های گرم اردوویسین گوردن تاسمانیا و سازند
مزدوران به دلیل تشابه کانی شناسی قرار گرفته‌اند (اقتباس با تغییراتی از Adabi, 1996).

جدول ۲- تغییرات عناصر اصلی و فرعی و ایزوتوپی اکسیژن و کربن در نمونه‌های آهکی
قطعه سطح الارضی تنگ بن.

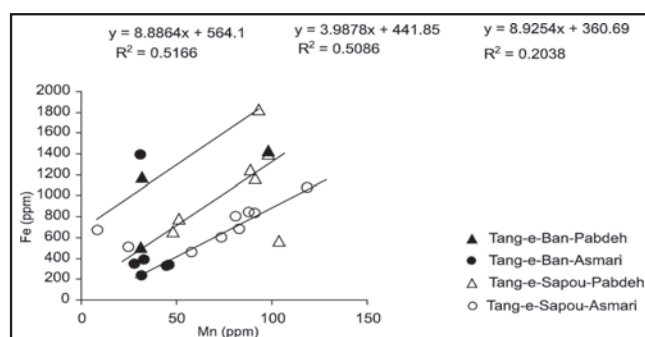
Sample Number	$\delta^{13}\text{C}$ PDB	$\delta^{18}\text{O}$ PDB	%Mg	%Ca	Sr ppm	Na ppm	Fe ppm	Mn ppm
Pb.b.2 (Pabdeh)	-0.40	-2.86	0.4	38.06	869	176	1430	98
Pb.b.4 (Pabdeh)	-1.04	-2.67	0.32	37.96	547	109	1181	32
Pb.b.10 (Pabdeh)	-0.77	-3.75	2.06	36.64	293	103	512	31
Pb.b.3 (Asmari)	-1.20	-1.74	0.27	36.62	325	95	327	45
Pb.b.3a (Asmari)	-2.08	-5.33	0.37	39.04	574	102	350	28
Sr.b.1 (Asmari)	-1.91	-4.94	0.39	38.74	544	136	1393	31
Ba.1 (Asmari)	1.35	-3.22	1.26	37.66	390	123	333	46
Ba.11 (Asmari)	-0.55	-5.24	0.25	38.91	444	82	229	32
Ba.49 (Asmari)	-0.64	-4.34	0.32	39.04	85	91	387	33



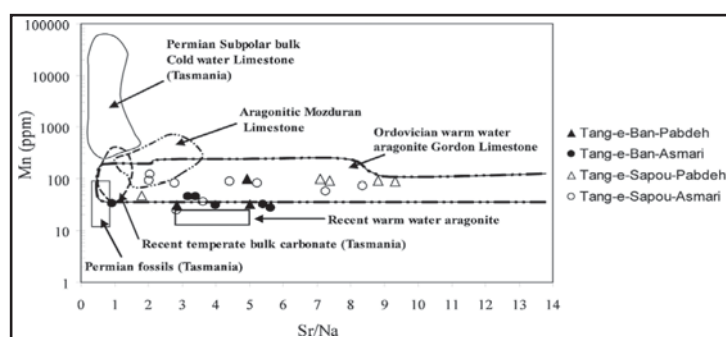
شکل ۲- ستون چینه‌شناسی سازند آسماری در مقاطع سطح الارضی تنگ بن و تنگ سپو.



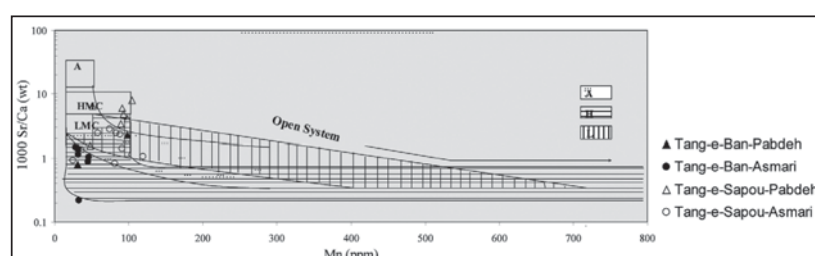
شکل ۵- تغییرات Mn در برابر Sr در مقاطع سطح الارضی، همان گونه که دیده می شود بیشتر نمونه‌ها در محدوده آهک‌های آراغونیتی آب‌های گرم اردو وسین گوردن قرار گرفته‌اند.



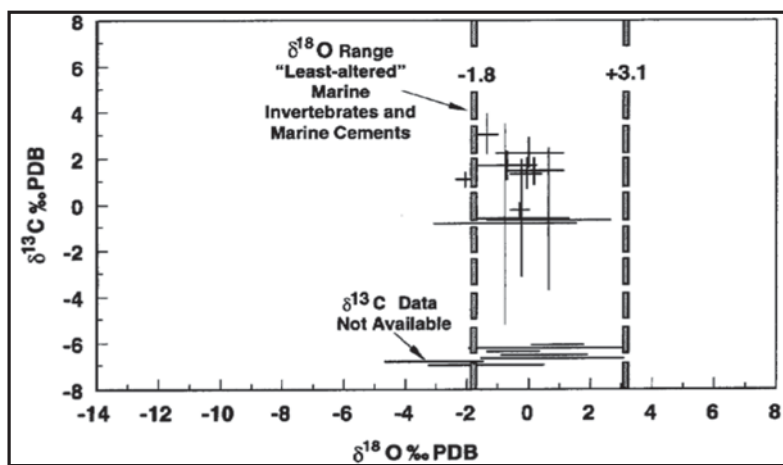
شکل ۶- تغییرات Fe در برابر Mn در مقاطع سطح الارضی تنگ بن و تنگ سپو. ارتباط نسبتاً مثبت بین Fe و Mn حاکی از تأثیر دیاژنر جوی است (Veizer, 1983).



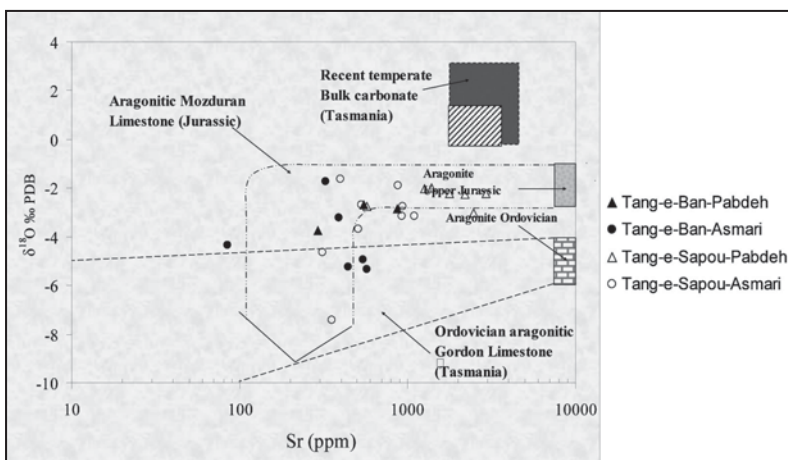
شکل ۷- تغییرات Mn در برابر Sr/Na در مقاطع سطح الارضی تنگ بن و تنگ سپو. در این شکل، مقدار Sr/Na در تمام نمونه‌ها بیشتر از یک و این خود دلیلی بر ترکیب کانی‌شناسی آراغونیتی سازند آسماری است.



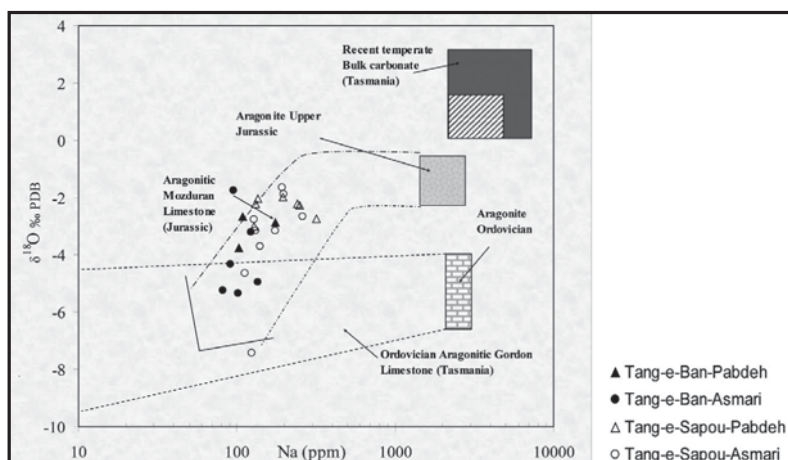
شکل ۸- تغییرات Mn در برابر Sr/Ca در مقاطع سطح الارضی تنگ بن و تنگ سپو (اقتباس از Brand & Veizer, 1980).



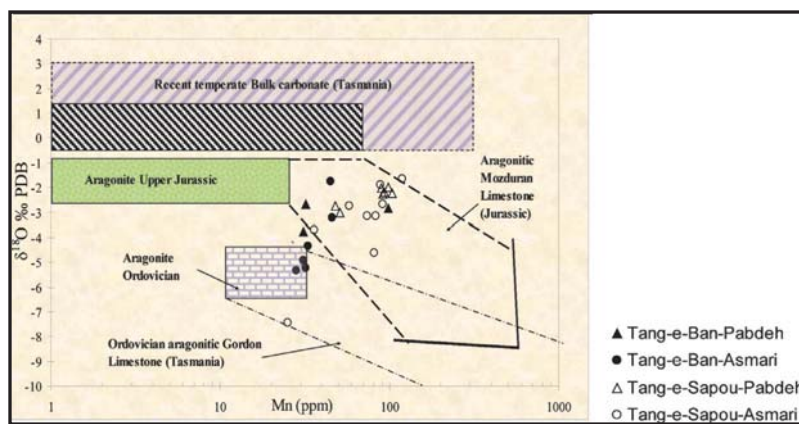
شکل ۹- همان‌گونه که در نمودار دیده می‌شود تغییرات $\delta^{18}\text{O}$ برای زمان ترشیری بین $-1/8$ (بویژه در مورد نمونه‌های بی‌مهرگان با کمترین دگرسانی و سیمان دریایی) تا $+3/1\text{ ‰ PDB}$ و تغییرات ایزوتاپ کربن بین حدود -7 ‰ PDB تا $+3\text{ ‰ PDB}$ است (اقتباس از Allan & Wiggins, 1993).



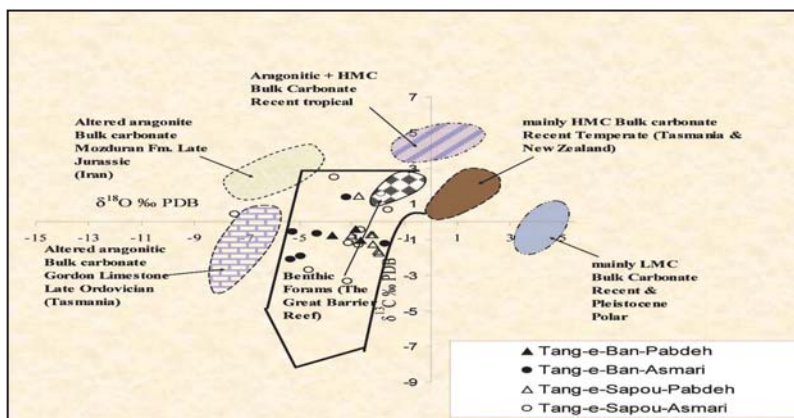
شکل ۱۰- تغییرات $\delta^{18}\text{O}$ در مقاطع سطح‌الارضی تنگ بن و تنگ سپو (اقتباس با تغییراتی از آدابی، ۱۳۸۳). این تغییرات تأییدی بر ترکیب کانی‌شناسی اولیه آрагونیتی است.



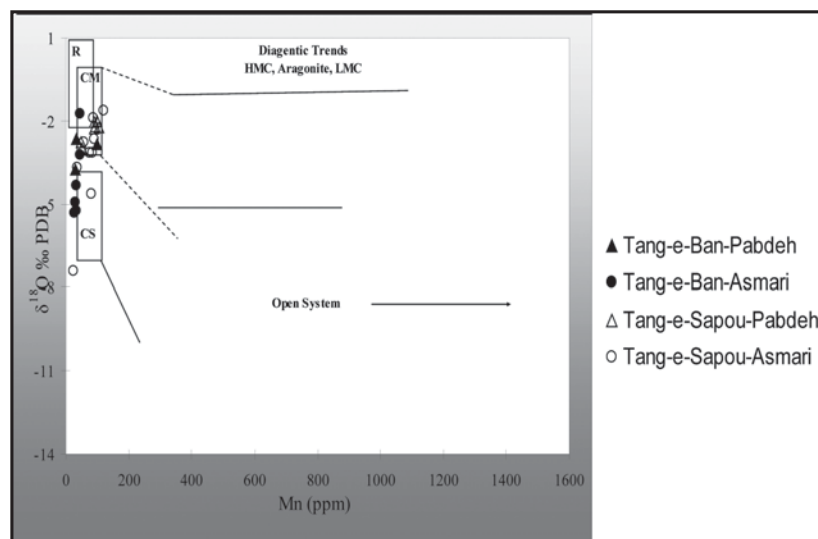
شکل ۱۱- تغییرات $\delta^{18}\text{O}$ در مقاطع سطح‌الارضی تنگ بن و تنگ سپو (اقتباس با تغییراتی از آدابی، ۱۳۸۳). فوارگیری این اطلاعات در محدوده آراغونیت‌های مزدوران و گوردن تسامسیان تأییدی بر تشابه ترکیب کانی‌شناسی این سازندها است.



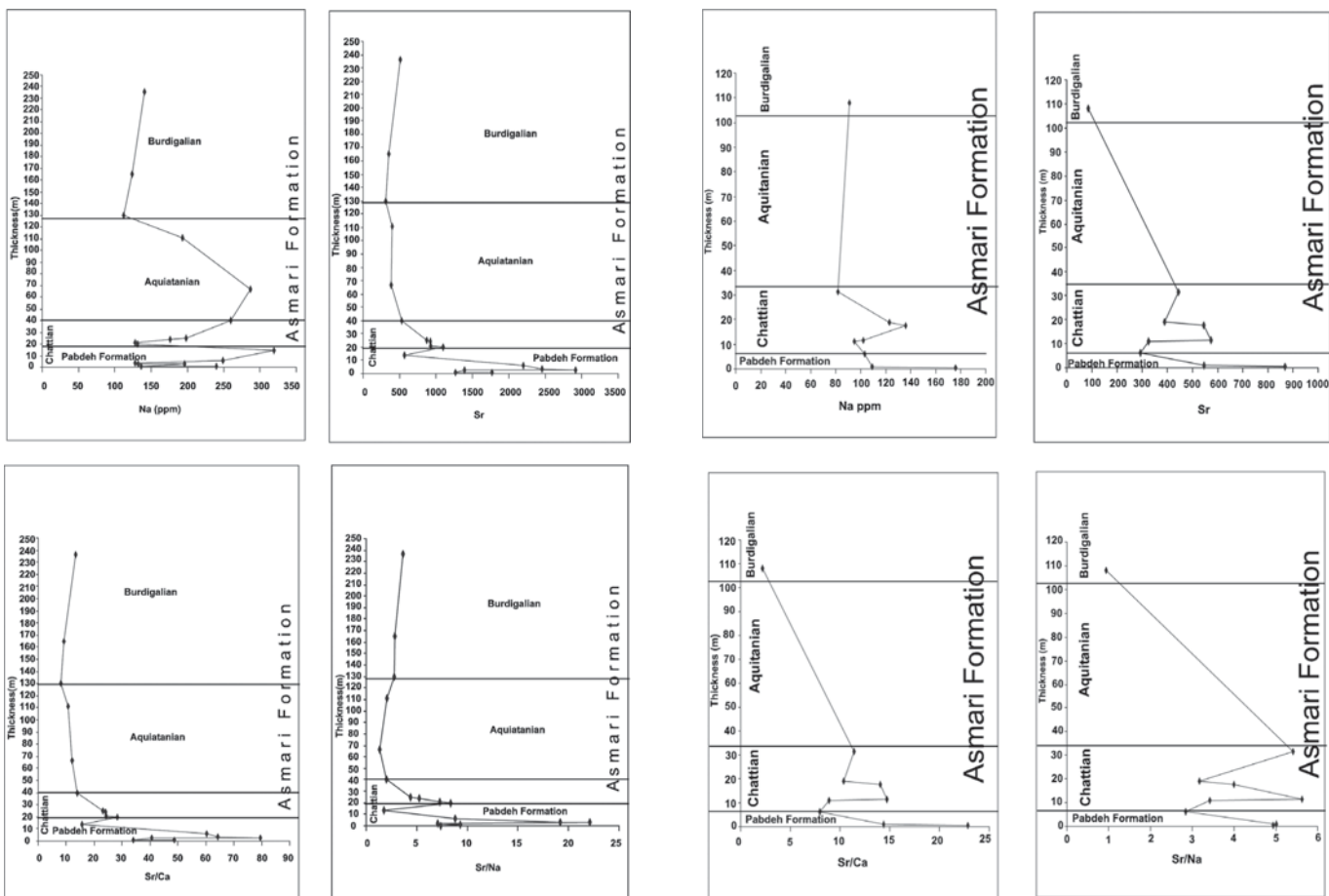
شکل ۱۲- تغییرات Mn در برابر $\delta^{18}\text{O}$ در مقاطع سطح الارضی تنگ بن و تنگ سپو (اقباص از آدابی، ۱۳۸۳). نتایج این اطلاعات حاکی از ترکیب کانی شناسی اولیه آراغونیتی است.



شکل ۱۳- تغییرات $\delta^{13}\text{C}$ در برابر $\delta^{18}\text{O}$ در مقاطع سطح الارضی تنگ بن و تنگ سپو. این تغییرات به دلیل روند زبرگشته حاکی از تأثیر دیاژنر جوی بر روی کربنات‌های مورد مطالعه است.

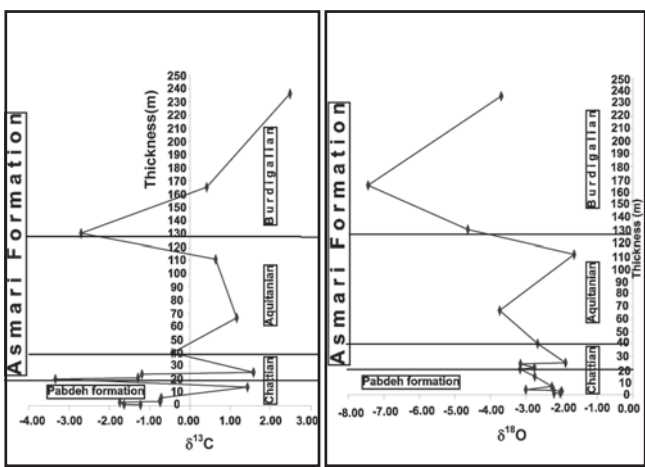


شکل ۱۴- تغییرات Mn در مقابل $\delta^{18}\text{O}$ در مقاطع سطح الارضی تنگ بن و تنگ سپو. همان‌گونه که دیده می‌شود سامانه دیاژنتیکی از نوع بسته، و بنابراین تبادل آب با سنگ در این نمونه‌ها، کم بوده است.

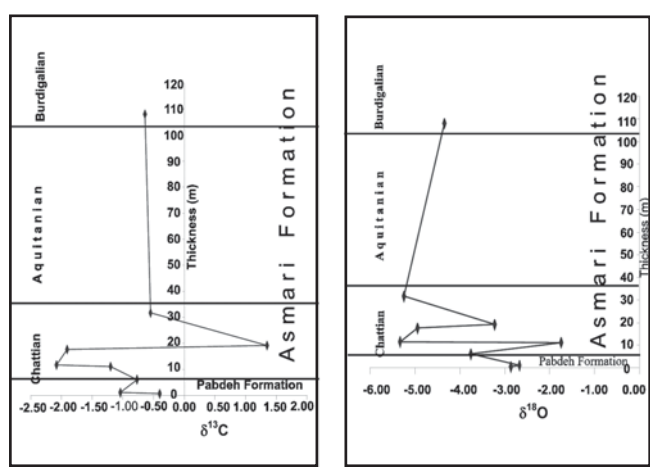


شکل ۱۵- تغییرات Sr/Ca ، Na ، Sr و Sr/Na در برابر ستبرای سازند آسماری در مقطع سطح اراضی تنگ سپو. به تغییرات شدید عنصری در مرز سازند پابده-آسماری توجه شود.

شکل ۱۵- تغییرات Sr/Ca ، Na ، Sr و Sr/Na در برابر ستبرای سازند آسماری در مقطع سطح اراضی تنگ بن.



شکل ۱۶- تغییرات $\delta^{13}\text{C}$ و $\delta^{18}\text{O}$ در برابر ستبرای ستون چینه‌شناسی سازند آسماری در مقطع سطح اراضی تنگ سپو.



شکل ۱۷- تغییرات $\delta^{13}\text{C}$ و $\delta^{18}\text{O}$ در برابر ستبرای ستون چینه‌شناسی سازند آسماری در مقطع سطح اراضی تنگ بن.

plastic deformation evidences, applicability of magmatic flow criteria and distinguishable interface of magmatic enclaves with host rocks in microscopic and macroscopic scales, spherical, globular, ellipsoidal and spindle shapes of mafic magmatic enclaves attributed to presence of theirs as mafic globule and packets in the host felsic magma, and also their similarity in superficial appearance, textural, mineralogy and geochemistry with the host rock, attributed to their different origin and magma mixing event. The formation of irregular shaped magmatic felsic enclaves with recognizable mineralogical and geochemical similarity to the host rocks, which are observed at the periphery or ceiling of the plutons, related to peripheral interruption in the primary phase of magmatic injection caused by the high pressure of consecutive injection pulse and replacement of new magmatic charge.

Key words: Malayer, Magmatic enclave, Xenoliths, Aspect ratio, Solid-State deformation, Flow deformation, Magma mixing

For Persian Version see pages 9 to 16

*Corresponding author: R. Deevsalar ; E-mail: Reza-dsalar@yahoo.com

A New Effective Approach for Enhancement of SAR Images Based on Extraction of Interscale Dependencies in the Wavelet Domain

M. Forouzanfar¹, H. Abrishami-Moghaddam^{1*} & M. Dehghani¹

¹ K.N. Toosi University of Technology, Tehran, Iran

Received: 2008 April 12 Accepted: 2008 November 30

Abstract

Despite the wide application of SAR images in lineaments extraction, DEM generation and displacements determination, their radiometric quality and interpretability is degraded due to the presence of a multiplicative noise called speckle. Therefore, the enhancement of SAR images is an important step before using them in any application. In this paper, a new image enhancement method tailored to SAR images is proposed. In this method, the logarithmically transformed SAR image is decomposed using the dual-tree complex wavelet transform (DTCWT). In order to effectively extract the wavelet interscale dependencies, the signal component of wavelet coefficients is modeled with an isotropic stable distribution, while the noise component is approximated using an isotropic Gaussian model. A bivariate Bayesian estimator is then designed to effectively remove speckle from noisy coefficients in the complex wavelet domain. Both quantitative and qualitative comparisons of the proposed method with new speckle reduction methods, demonstrate its higher performance in speckle reduction from SAR images

Keywords: Speckle Noise, SAR Images, Dual-Tree Complex Wavelet Transform (DTCWT), Bivariate Bayesian Estimator, Bivariate Isotropic Stable Distribution.

For Persian Version see pages 17 to 22

* Corresponding author: H.Abrishami_moghaddam; E_mail: moghadam@saba.kntu.ac.ir

Geochemistry of the Asmari Formation at the Tang-e-Sapou and Tang-e-Ban Outcrop Sections, Kohgiluyeh va Bouyer Ahmad Province

Z. K. Mossadegh^{1*}, M. H. Adabi¹ & A.Sadeghi¹

¹Department of Geology, Science Faculty, Shahid Beheshti University, Tehran, Iran

Received: 2007 December 10 Accepted: 2009 February 02

Abstract

We studied the geochemistry of the Asmari Formation in two outcrop sections: Tang-e-Sapou a 260 m section near Dehdasht City (Kohgiluyeh va Bouyer Ahmad Province) and Tang-e-Ban a 214 m section near Behbahan City (Khozestan Province). Sampling included the complete Asmari Formation and the top of the Pabdeh Formation. The Late Oligocene to Early Miocene Asmari Formation lies above the Pabdeh Formation and is overlain by the Gachsaran Formation. Elemental geochemistry (Fe, Mg, Na, Sr, Mn, Ca), and Oxygen and Carbon isotope analyses indicate that meteoric diagenesis affected carbonates of the Asmari Formation. The $\delta^{18}\text{O}/\delta^{13}\text{C}$ data plots in an inverted J-trend suggesting that meteoric diagensis occurred in a closed to semi-closed system. The geochemistry also

suggests that the original mineralogy was Aragonite. The boundary between the Pabdeh and Asmari Formations can be recognized by changes in the $\delta^{18}\text{O}$ and $\delta^{13}\text{C}$. In the Pabdeh Formation the $\delta^{18}\text{O}$ and $\delta^{13}\text{C}$ values are mostly negative, but in the Asmari Formation values range from positive to negative. Strontium is much higher in the Pabdeh Formation than in the Asmari Formation. Changes in isotope and elemental geochemistry clearly show the Chattian-Aquitian and Aquitanian-Burdigalian boundaries.

Keywords : Asmari Formation, Geochemistry, Oligocene, Miocene.

For persian version see pages 23 to 32

*Corresponding Author: Z. K. Mossadegh; Email: zkmossadegh@yahoo.com

Sedimentary Environment, Diagenesis and Geochemistry of the Fahliyan Formation in the Type Section (Fahliyan Anticline) and Gachsaran Oil Field

M. A. Salehi^{1*}, M. H. Adabi¹, H. Ghalavand² & M. Khatibi-Mehr¹

¹ Department of Geology, Faculty of Earth Sciences, Shahid Beheshti University, Tehran, Iran

² Department of Geology, National Iranian South Oil Company (NISOC), Ahwaz, Iran

Received: 2008 May 10 Accepted: 2008 November 17

Abstract

The Fahliyan Formation with the age of Lower Cretaceous (Berriasian-Hauterivian) were studied for microfacies analysis, diagenesis and original carbonate mineralogy in the type section at Fahliyan Anticline and subsurface section in well number 55 of Gachsaran Oil Field. Petrographic studies led to the recognition of 10 microfacies that were deposited in four facies belts: tidal flat, lagoon, shoal and open marine. The observed facies patterns indicated a carbonate rimmed-shelf depositional environment. Recognition of different type of cements shows that the Fahliyan Formation has mostly undergone meteroric diagenesis. Major and minor elements and carbon and oxygen isotope values indicate that aragonite was the original carbonate mineralogy in the Fahliyan Formation, and suggests that alteration occurred in a closed diagenetic system, with low water/rock interaction.

Keywords: Fahliyan Formation, Microfacies, Sedimentary Environment, Diagenesis, Geochemistry.

For Persian Version see pages 33 to 44

*Corresponding author: M. A. Salehi; Email: malisalehi@gmail.com

Biostratigraphy & Paleoenvironment of the Qom Formation in Northeast of Mahneshan

J. Daneshian^{1*}, M. Shahrabi² & M. Akhlaghi¹

¹ Department of Geology, Science Faculty, Tarbiat Moallem University, Tehran, Iran.

² Zarnab Co., Tehran, Iran

Received: 2008 July 22 Accepted: 2009 February 22

Abstract

75 samples of the Qom Formation in Andabad, northeast Mahneshan, were investigated. The Qom Formation in the examined section with a thickness of 301m, mainly consists of limestone and marl, and disconformably overlies the Lower Red Formation and lies under the sediments of the Upper Red Formation. A study of foraminifera was led to identifying 42 genera and 70 species of the benthonic and planktonic foraminifera, which 37 genera and 57 species is reported from this area for the first time. Among them, benthonic foraminifera have more varieties and abundances, and used for biostratigraphy. Based on the identified foraminifera, the Andabad section is comparable to Assemblages Zone 1 and 2 introduced by Adams and Bourgeois. On the basis of occurrence of the index foraminiferal species and their stratigraphic distribution, the age of the Qom Formation in the studied section is Early Miocene (Late Aquitanian to Burdigalian).